



KO-KA s.r.o., projekční a inženýrská kancelář

kancelář: Thákurova 7, 166 29 Praha 6

tel.: 224 355 444, e-mail: ko-ka@ko-ka.cz



SEVEROČESKÉ VODOVODY A KANALIZACE, a.s.

Přítkovská 1689, 415 50 Teplice



ÚTVAR PROJEKCE

Sladovnická 1082

463 11 LIBEREC - VRATISLAVICE

tel.: 485 340 511

fax: 485 340 558

DĚČÍN, Na Výšinách ***od č.p. 995 ke křižovatce s ul. Teplická*** ***rekonstrukce kanalizace***

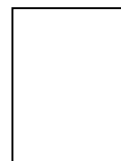
E6.8 STATICKÉ POSOUZENÍ

Číslo stavby: DC 007 309
Zak. č. inv.: 11191/4
Zak. č. zhot.: 2128/19
Stupeň: DPS
Datum: listopad 2019
Kraj: Ústecký
Investor: SVS a.s.

Generální ředitel: Ing. David Votava
Ředitel IPČ: Ing. Martin Opacki
Manažer útvaru: Ing. Václav Fridrich
Technická kontrola: Ing. Tomáš Nevole

HIP: Ing. Tomáš Nevole
Zodp. projektant: Ing. Milan Kletečka
Báňský projektant: Ing. Petr Cupal
Vypracoval: Ing. Petr Cupal

Paré číslo:



Obsah:

1	ÚVOD.....	3
2	OBEZNÁ NUMERICKÁ SIMULACE A POSOUZENÍ.....	5
3	OHLUBŇOVÝ RÁM STAVEBNÍ ŠACHTY	6
3.1	KONSTRUKCE A MATERIÁLY	6
3.2	STATICKÝ MODEL.....	6
3.3	ZATÍŽENÍ.....	7
3.4	POSOUZENÍ.....	8
4	VODOROVNÝ RÁM STAVEBNÍ ŠACHTY.....	9
4.1	KONSTRUKCE A MATERIÁLY	9
4.2	STATICKÝ MODEL.....	11
4.3	ZATÍŽENÍ.....	12
4.4	POSOUZENÍ.....	14
5	RÁM ŠTOLY	16
5.1	KONSTRUKCE A MATERIÁLY	16
5.2	STATICKÝ MODEL.....	17
5.3	ZATÍŽENÍ.....	18
5.4	POSOUZENÍ.....	21
6	ZÁVĚR.....	22

1 ÚVOD

Záměr zahrnuje stavební šachtu velikosti **2,5 x 4,0 m a hl. 5,5 m** pro realizaci kanalizačního spadiště a navazující krátkou **štolu v rámu LB3** pro uložení kanalizačního potrubí DN 500 z kameniny.

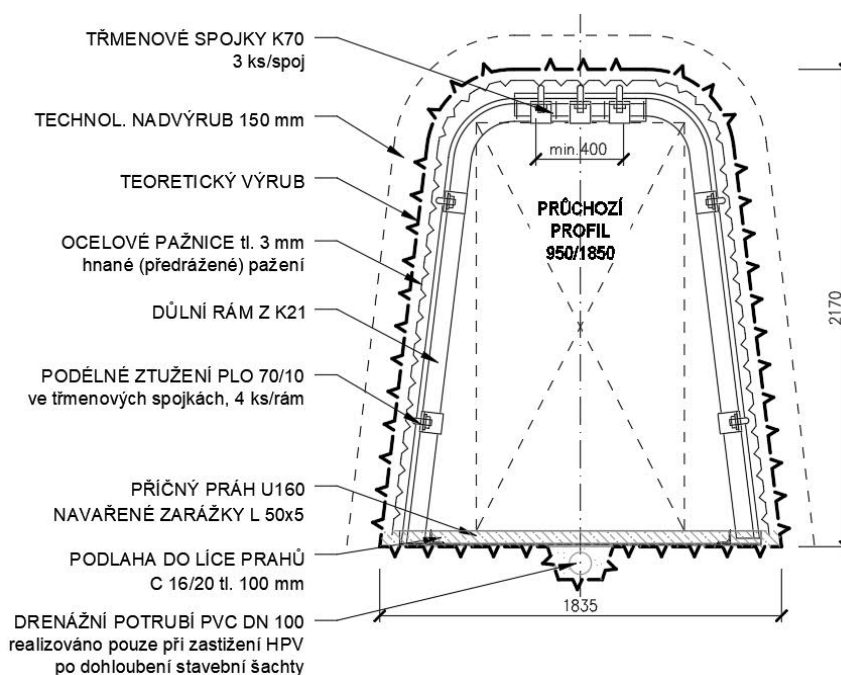
Šachta se nachází na začátku ulice na Výšinách a štolu z ní je vedena úpadně do středu křižovatky s ulicí Teplickou, kde je ukončena na konstrukci stávající kanalizační šachty.

Práce budou prováděny v prostředí antropogenních navážek – konstrukce vozovky a zásypy výkopů inženýrských sítí; svahových sutí a říčních sedimentů

Horninové prostředí ani HPV nebudou hloubením zastiženy.

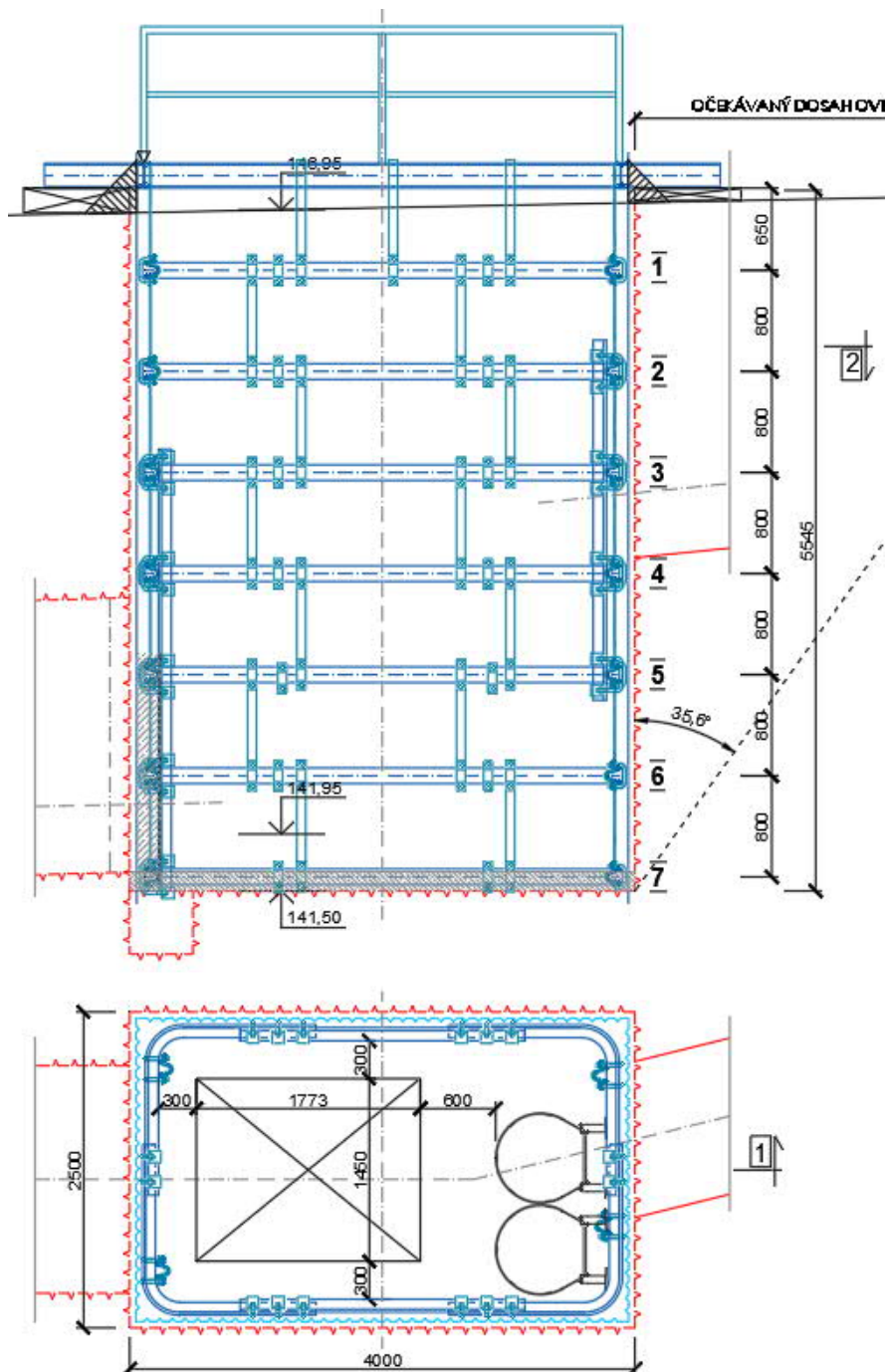
Dočasnou výztuž štoly tvoří

- svislé rámy z K21 v rozteči do 0,8 m se třmenovými spoji
- příčné prahy U160
- vodorovné ztužení z PLO 70/10
- ocelové pažnice tl. 3 mm (union)
- dno z betonu C16/20 tl. 100 mm



Obrázek 1. Schéma posuzovaného objektu

- ohlubňový rám z IPN 200, svařený
- vodorovné rámy z K21 v rozteči do 0,9 m se třmenovými spoji
- závěsy z PLO 70/10
- ocelové pažnice tl. 3 mm (union)
- nástřík SB20 do líce ráků přes spodní 3 postupy
- dno z betonu C16/20 tl. 150 mm



Obrázek 2. Schéma posuzovaného objektu

2 OBECNÁ NUMERICKÁ SIMULACE A POSOUZENÍ

Základem pro výpočet dočasné výztuže podzemních objektů je prutový model využívající metodu konečných prvků.

Při výpočtu vnitřních sil, napětí a deformací provizorní konstrukce bylo použito polygonální metody, při níž je tvar konstrukce zaveden do výpočtu střednicí.

Ohlubňový rám je podepřen pevnými podporami ve svislém i vodorovném směru. Vodorovné rámy šachty jsou po obvodě uloženy na radiálních podporách (liniová, nelineárně pružná), tangenciálních podporách (liniová pružná) a vertikálních podporách (bodová pevná).

Svislé rámy štoly jsou po obvodě uloženy na radiálních podporách (liniová, nelineárně pružná), tangenciálních podporách (liniová pružná) a horizontálních podporách (bodová pevná). Paty jsou podepřeny pevným kloubem.

Tuhost liniových podpor je uvažována podle vztahů uvedených v ČSN 73 7501 pro modul reakce horninového prostředí.

$$k_{rad} = \frac{E_{def}}{r \cdot (1 + \nu)} ; \quad k_{tan} = \frac{k_{rad}}{2 \cdot (1 + \nu)}$$

V dočasné výztuži dochází k namáhání jednotlivých prvků normálovou silou, smykovou silou a ohybovým momentem, popř. jejich vzájemnou kombinací. Tyto vnitřní síly vyvozují v provizorní konstrukci víceosý stav napjatosti.

Ve statickém výpočtu je tedy nutné posoudit konstrukci na normálová napětí, smyková napětí a především na tzv. von Misesovo napětí, které zohledňuje kritérium plasticity. Numerická formulace je uvedeny níže:

$$\left(\frac{\sigma_{x,Ed}}{f_y / \gamma_{M0}} \right)^2 + \left(\frac{\sigma_{z,Ed}}{f_y / \gamma_{M0}} \right)^2 - \left(\frac{\sigma_{x,Ed}}{f_y / \gamma_{M0}} \right) \left(\frac{\sigma_{z,Ed}}{f_y / \gamma_{M0}} \right) + 3 \left(\frac{\tau_{Ed}}{f_y / \gamma_{M0}} \right)^2 \leq 1$$

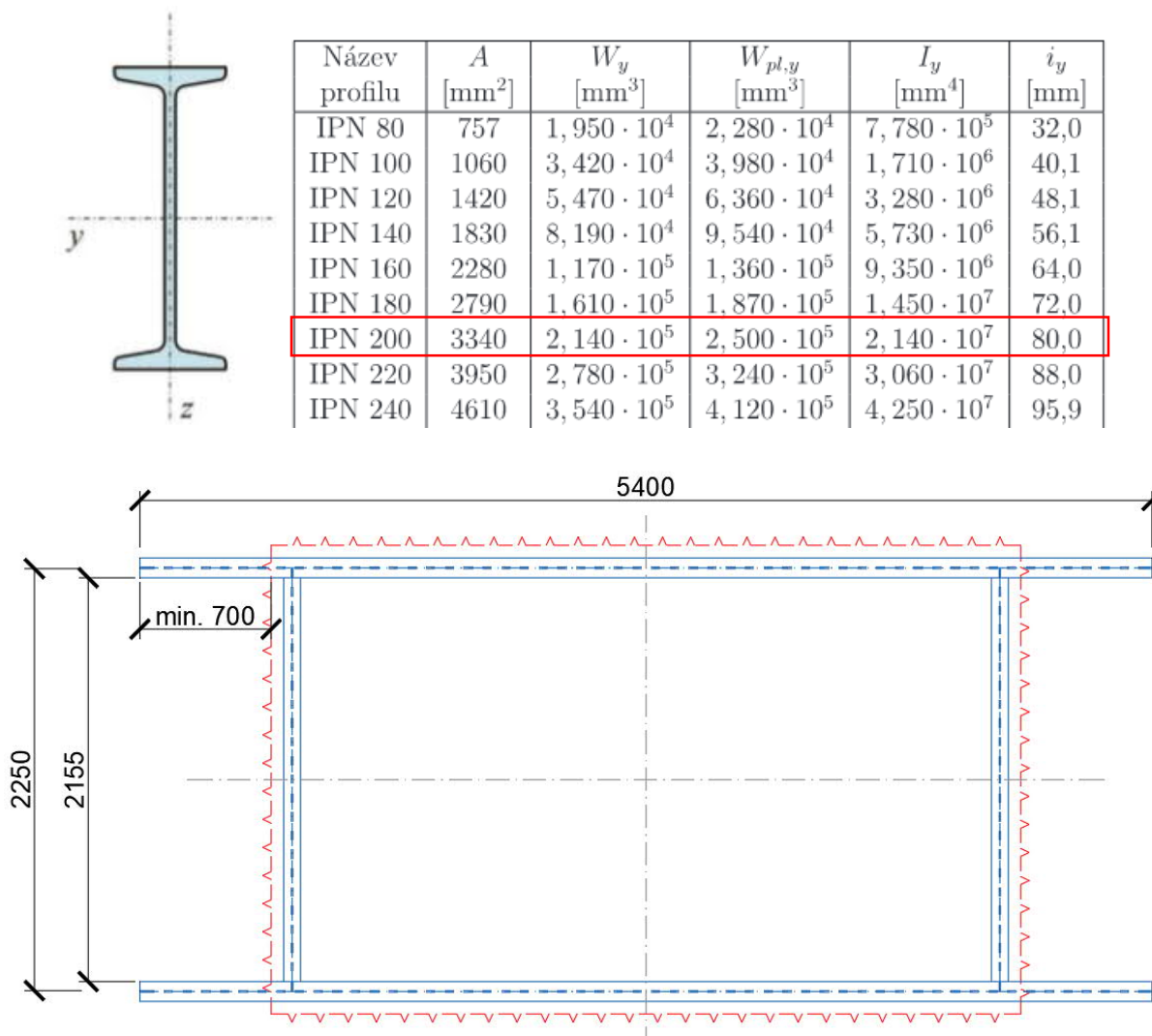
Podrobné posouzení jednotlivých konstrukčních prvků díla viz dále.

3 OHLUBŇOVÝ RÁM STAVEBNÍ ŠACHTY

3.1 KONSTRUKCE A MATERIÁLY

Válcovaný profil IPN 200, ocel 11 500, $f_y = 235 \text{ MPa}$

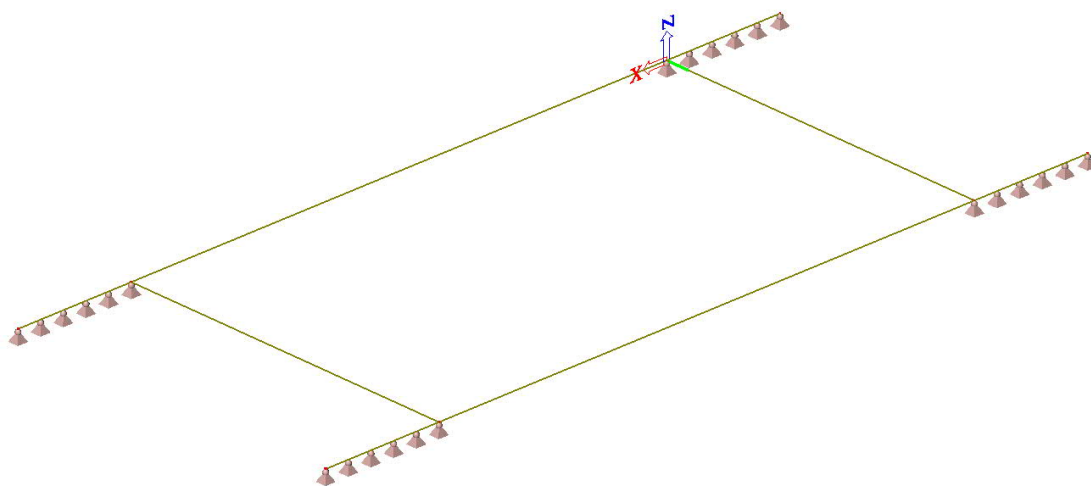
Bude osazen do vodorovné polohy a jeho části svařeny obvodovým svarem tl. 8 mm.



Obrázek 3. Vodorovný rám z IPN 200 stavební šachty 2,5 x 4,0 m

3.2 STATICKÝ MODEL

- 3D – rovina x, y, z
- ve směru „z“ zatížení zavěšenými rámy
- liniové tuhé podepření konců rámu
- vybočení vyloučeno obetonávkou
- výpočet lineární kombinace zatěžovacích stavů



Obrázek 4. Statický model rámu

3.3 ZATÍŽENÍ

Zatížení ohlubňového rámu je pouze svislé - od zavěšených vodorovných ráků, s přitížením v rohu od zavěšeného lezného oddělení s 1 pracovníkem.

Předpokládá se, že ohlubňový rám, vzhledem k aktivaci kce šachty klínováním k hornině, přenáší maximálně hmotnost čtyř vodorovných ráků a to min. na 8 závěsech.

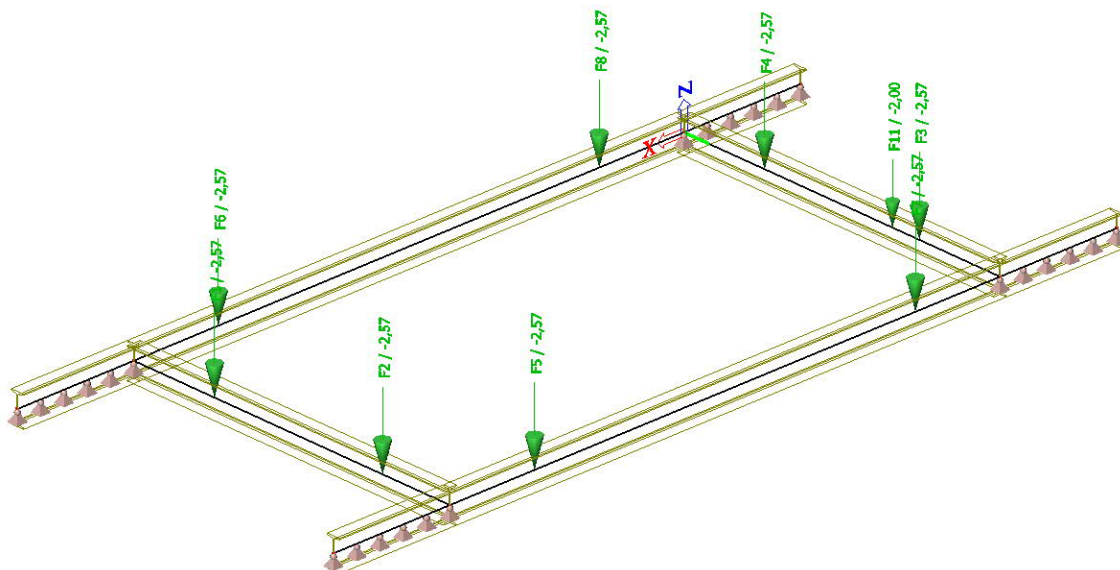
Koncová ramena rámu jsou v celé délce uložena na únosném podkladu a celá ohlubeň je obetonována, tj. zajištěna proti horizontálnímu posunu.

Hmotnost ocelové výztuže 1 postupu = 395 kg, viz tabulka výztuže na výkrese.

Celkové zatížení ohlubňového rámu: $Q_d = (4 \times 395) \times 1,3 = 1800 \times 1,3 = 20,5 \text{ kN}$

Lokální zatížení na závěsech: $Q_{di} = 20,5 / 8 = 2,57 \text{ kN}$

Bodové přitížení v místě žebříku $Q_{dž} = 2,00 \text{ kN}$



Obrázek 5. Schéma zatížení rámu

3.4 POSOUZENÍ

Podmínka plasticity von Mises (σ_E) : celkové napětí (normálové + smykové) nesmí přesáhnout napětí dovolené, tj. mez kluzu oceli S235.

$$\sigma_E = \sqrt{(\sigma_{\text{normal}}^2 + 3 \cdot \tau_{\text{smyk}}^2)} < 235 \text{ MPa} = f_y$$

3D napětí

Lineární výpočet

Kombinace: MSÚ-Sada B (auto)

Výběr: Vše

Poloha: V uzlech s průměrováním na makro. Systém: LSS prvku sítě

Hlavní veličiny

Výsledky na 1D dílci

Extrém 1D: Globální

Jméno	dx [m]	Vlákno	Stav	σ_E [MPa]	σ_1 [MPa]	σ_2 [MPa]	τ_{xy} / τ_{xs} [MPa]	τ_{xz} / τ_{ys} [MPa]
B4	0,000	3	MSÚ-Sada B (auto)/1	0,0	0,0	0,0	0,0	0,0
B1	1,550+	18	MSÚ-Sada B (auto)/2	19,7	0,0	-19,7	0,0	-0,5

3D napětí

Hodnoty: σ_E

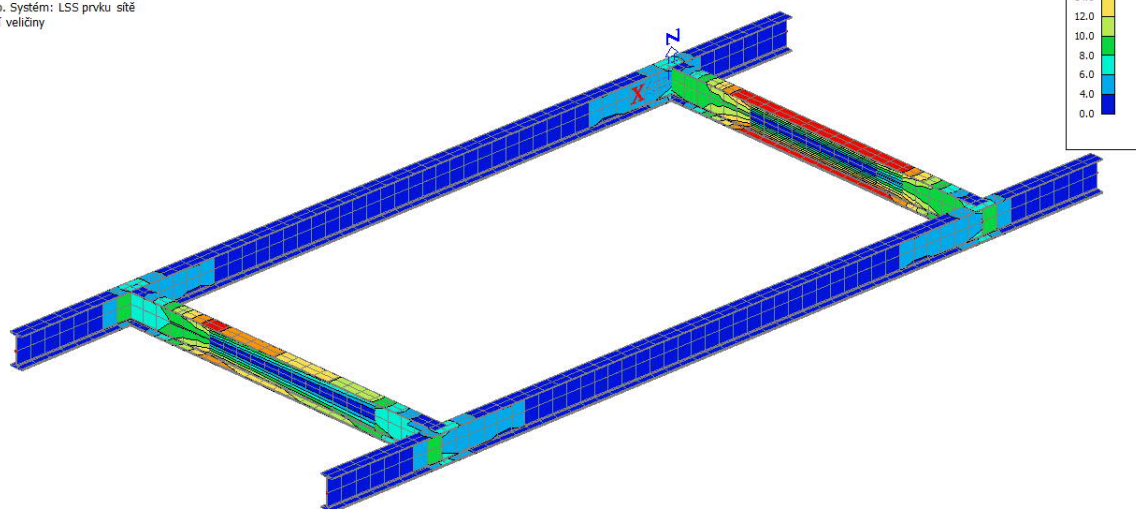
Lineární výpočet

Kombinace: MSÚ-Sada B (auto)

Výběr: Vše

Poloha: V uzlech s průměrováním na makro. Systém: LSS prvku sítě

Hlavní veličiny



Obrázek 6. Průběh celkového napětí σ_E ve 3D [MPa]

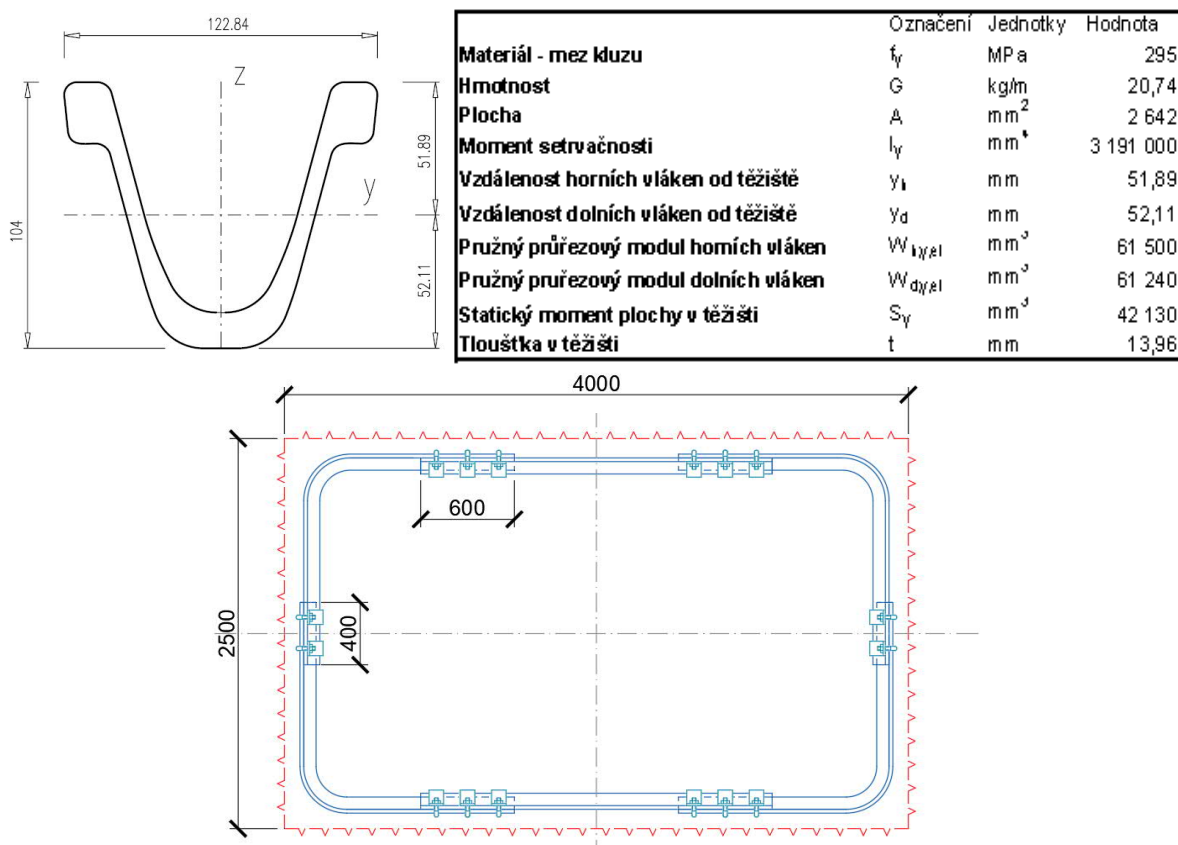
19,7 MPa << 235 MPa → vodorovný rám vyhovuje s 91 % rezervou

4 VODOROVNÝ RÁM STAVEBNÍ ŠACHTY

4.1 KONSTRUKCE A MATERIÁLY

VODOROVNÝ RÁM – válcovaný profil K21, ocel 11 500, $f_y = 295$ MPa

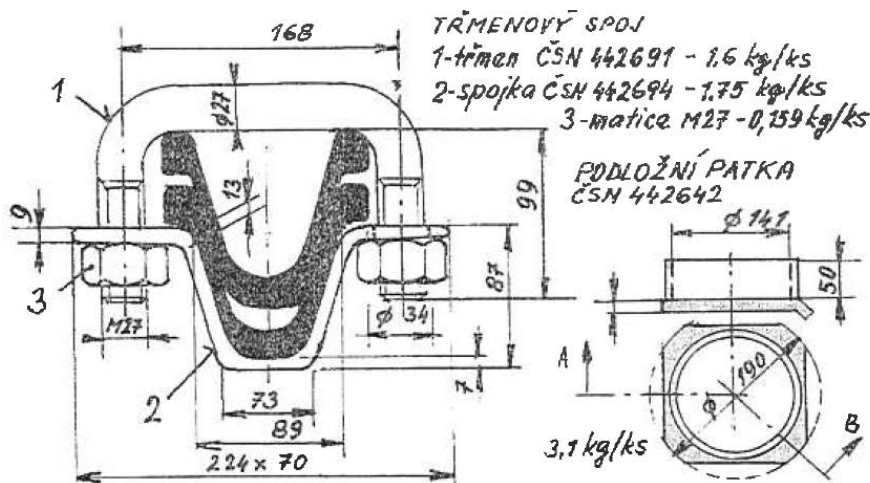
Spojení jednotlivých dílů vodorovného rámu je navrženo s přesahem min. 400 mm jištěným min. **2 třmenovými spoji**. Vzdálenosti jednotlivých ráků jsou do 0,9 m, viz výkres šachty.



Obrázek 7. Vodorovný rám z K21 stavební šachty 2,5 x 4,0 m

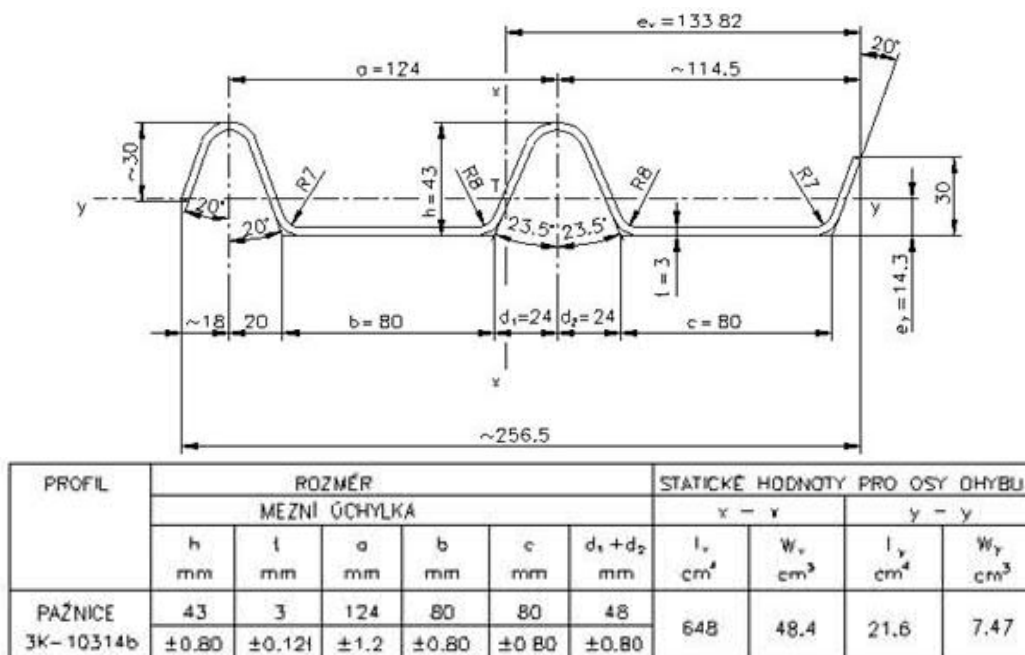
SPOJE DÍLŮ RÁMU – třmenové spoje K70 s maticí M27

Skládá se z matice, třmenu a spojky. Každý spoj ráků je jištěn dvěma spojkami.



PAŽNICE ocelové Union tl. 3mm, ocel S235 JR, $f_y = 235 \text{ MPa}$

Po osazení pažení musí dojít k okamžité aktivaci odstavnými klíny.



ZÁVĚSY – plochá ocel PLO 70/10, S235 JR, $f_y = 235 \text{ MPa}$

Na jeden vodorovný rám bude po obvodě použito min. 12 ks závěsů, tj, 2 ks/díl rámu.

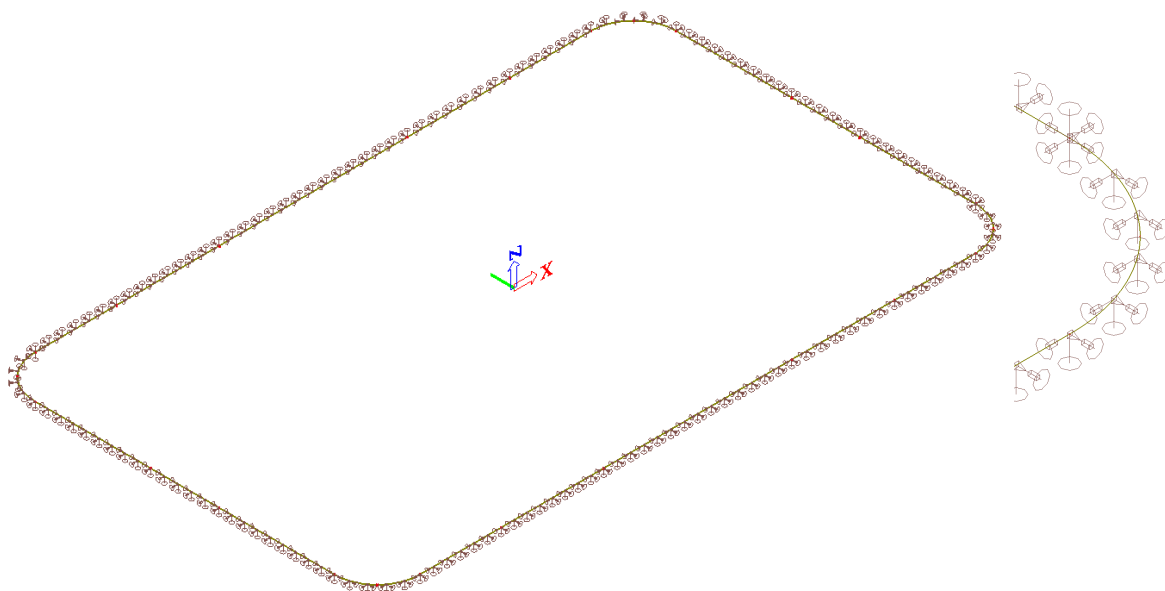
4.2 STATICKÝ MODEL

- 3D – rovina x, y, z
- ve směru „z“ bez zatížení
- pružné liniové podepření po obvodu (interakce s okolní horninou)

$$k_{rad} = \frac{E_{def}}{r \cdot (1 + \nu)} = 5,5 / (1,35 \cdot (1 + 0,38)) = 2,95 \text{ MN/m}^2$$

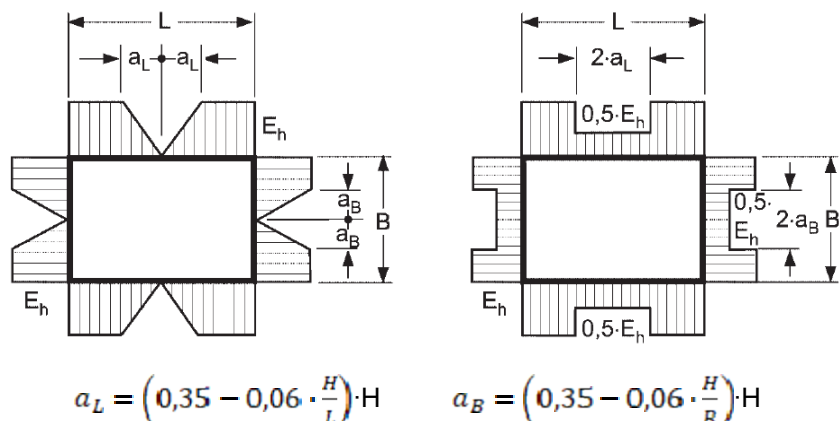
$$k_{tan} = \frac{k_{rad}}{2 \cdot (1 + \nu)} = 2,95 / (2 \cdot (1 + 0,38)) = 1,07 \text{ MN/m}^2$$

- zatížení aktivním zemním tlakem
- výpočet lineární a nelineární kombinace zatěžovacích stavů



Obrázek 8. Statický model - liniové pružné podepření rámu

Rozdělení prostorového aktivního zemního tlaku na jednotlivé rámy vychází z předpokladu, že konstrukce rámu umožňuje v rozích menší deformace než uprostřed rozpětí a je tedy možné zde v předepsané zóně zatížení snížit.



4.3 ZATÍŽENÍ

Výpočet byl zpracován v programu GEO 5 dle EN1997.

Výpočet aktivního tlaku - Coulomb (ČSN 730037).

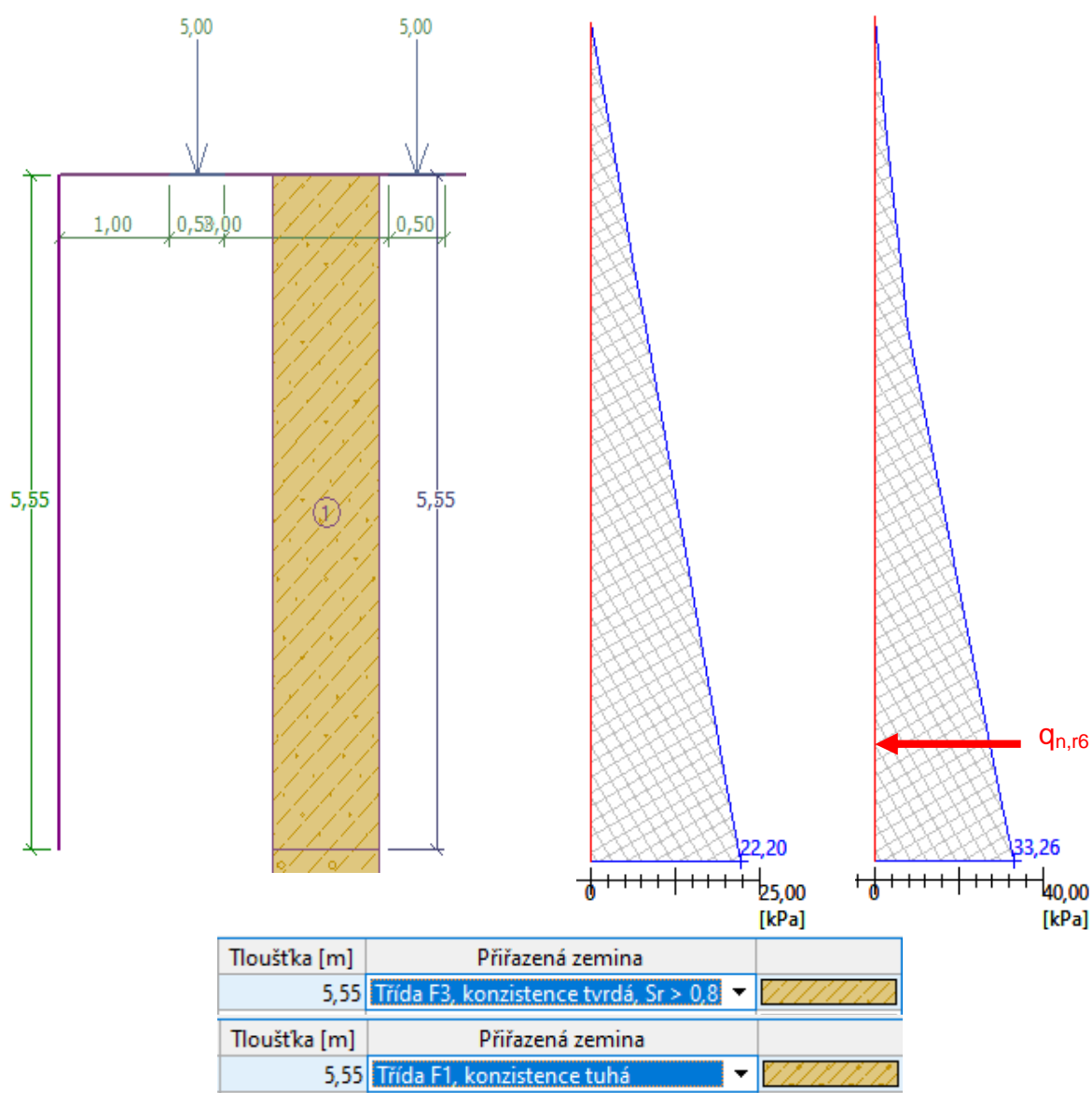
Předpokládá se *zatížení aktivním zemím tlakem s přitížením povrchu rypadlem*.

Vzhledem k nejistotě geologické stavby byla simulována řada možných stavů a v návaznosti na zjištěná napětí jsou dokládány 2 mezní. Ty na celou hloubku šachty uvažují se zeminami třídy F1 a F3, přičemž skladba vozovky se zanedbává:

zemina F1 - MG – hlinitoštěrkovitá, tuhé konzistence

zemina F3 - MS – hlinitopísčité, tvrdé konzistence

Uvažovány směrné normové charakteristiky.



Obrázek 9. Minimální dimenzační aktivní zemní tlak [kPa]

Teoreticky nejvíce namáhaný spodní rám bude uložen na hornině a celý zabetonován, takže pro účely výpočtu se uvažuje předposlední rám, tjč. 6, v zeminách F1:

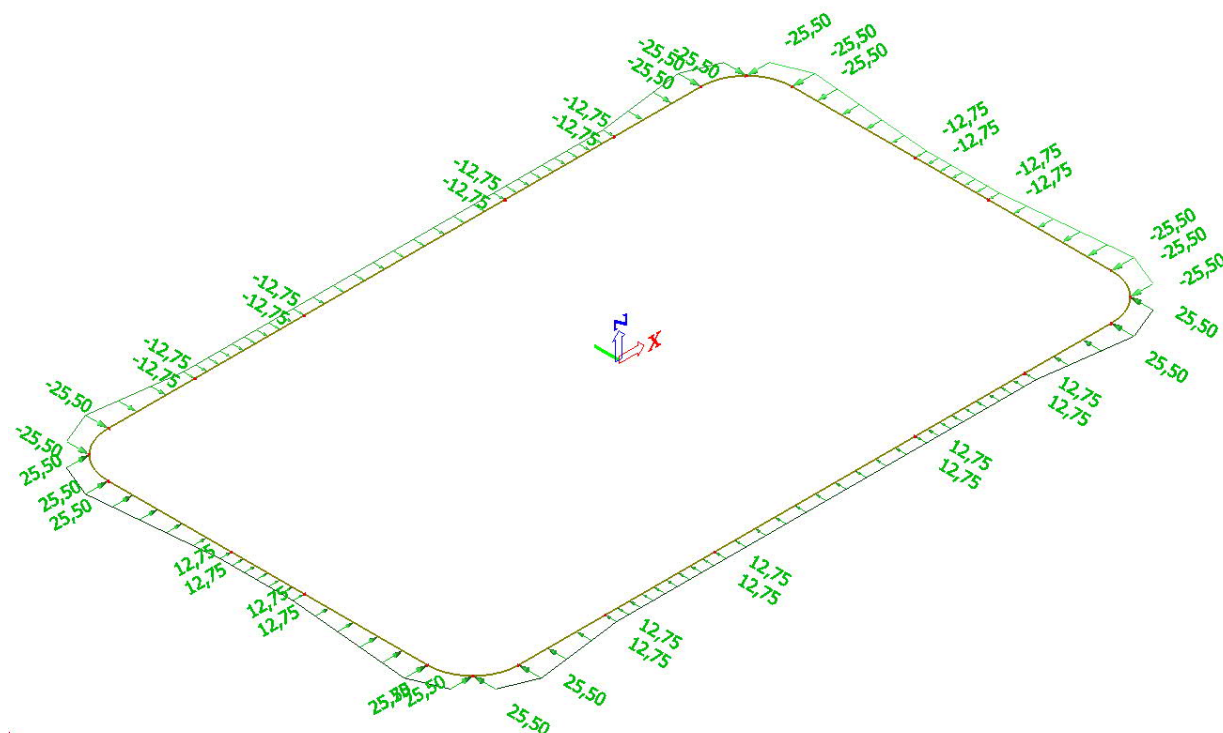
$$q_{d,r6} = q_{n,r6} \cdot \Psi$$

$$q_{d,r5} = 24,5 \cdot 0,8 \cdot 1,3 = 25,5 \text{ kN}$$

Zóna snížení tlaku

$$a_L = \left(0,35 - 0,06 \cdot \frac{H}{L}\right) \cdot H = 1,48 \text{ m}$$

$$a_B = \left(0,35 - 0,06 \cdot \frac{H}{R}\right) \cdot H = 1,20 \text{ m}$$



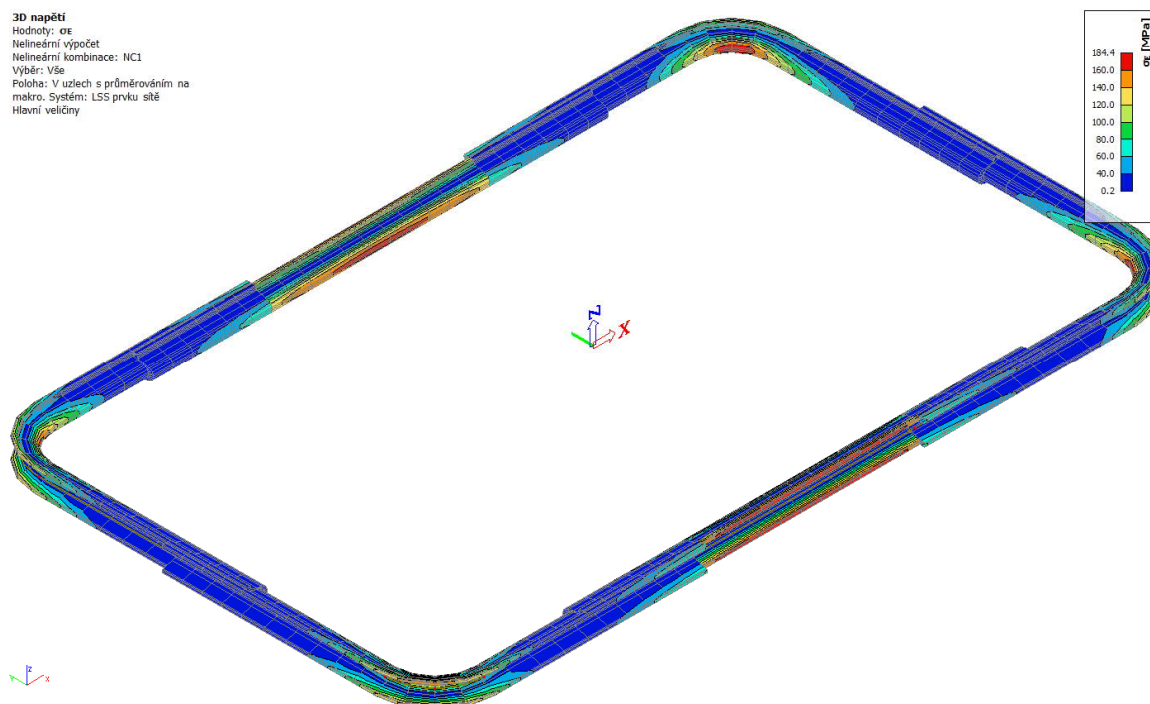
Obrázek 10. Zatížení posuzovaného vodorovného rámu [kN]

4.4 POSOUZENÍ

Podmínka plasticity von Mises (σ_E) : celkové napětí (normálové + smykové) nesmí přesáhnout napětí dovolené, tj. mez kluzu oceli E295.

$$\sigma_E = \sqrt{(\sigma_{\text{normal}}^2 + 3 \cdot \tau_{\text{smyk}}^2)} < 295 \text{ MPa} = f_y$$

184,4 MPa < 295 MPa → rám vyhovuje s 37 % rezervou



Obrázek 11. Průběh celkového napětí σ_E ve 3D[MPa]

3D napětí

Nelineární výpočet

Nelineární kombinace: NC1

Výběr: Vše

Poloha: V uzlech s průměrováním na makro. Systém: LSS prvku sítě

Hlavní veličiny

Výsledky na 1D dílci

Extrém 1D: Dílec

Jméno	dx [m]	Vlákno	Stav	σ_E [MPa]	σ_1 [MPa]	σ_2 [MPa]	T_{xy} / T_{xs} [MPa]	T_{xz} / T_{xs} [MPa]
B30	0,600-	14	NC1	9,1	0,0	-9,1	0,0	0,0
B30	0,500-	41	NC1	183,7	0,0	-183,7	0,0	0,0
B33	0,197+	27	NC1	11,9	1,2	-11,2	-3,7	0,0
B33	0,197-	7	NC1	173,4	0,0	-173,4	0,0	0,4
B35	0,563+	44	NC1	2,2	0,7	-1,8	-1,1	0,0
B35	0,000	7	NC1	142,4	0,0	-142,4	0,0	0,4
B36	0,000	44	NC1	1,4	0,3	-1,3	0,6	0,0
B36	0,675	7	NC1	144,1	0,0	-144,1	0,0	-0,6
B37	0,197-	37	NC1	11,4	1,0	-10,9	-3,3	0,0
B37	0,197-	7	NC1	176,3	0,0	-176,3	0,0	-0,1
B38	0,500+	2	NC1	9,1	0,0	-9,1	0,0	0,0
B38	0,600+	23	NC1	184,4	0,0	-184,4	0,0	0,0
B39	0,356-	23	NC1	7,1	0,0	-7,1	0,0	0,6
B39	0,000	9	NC1	126,9	0,0	-126,9	0,0	-1,7
B40	0,197+	37	NC1	11,8	1,2	-11,2	-3,7	0,0
B40	0,197-	9	NC1	172,6	0,0	-172,6	0,0	-0,4
B42	0,000	20	NC1	1,4	0,3	-1,2	0,6	0,0
B42	0,675	9	NC1	144,0	0,0	-144,0	0,0	0,6
B43	0,197+	37	NC1	11,5	1,2	-10,9	3,6	0,0
B43	0,197+	7	NC1	176,7	0,0	-176,7	0,0	0,1
B44	0,000	23	NC1	0,8	0,0	-0,8	0,0	-0,1
B44	0,000	7	NC1	12,1	0,0	-12,1	0,0	0,1
B45	0,119-	23	NC1	6,0	0,0	-6,0	0,0	-0,3
B45	0,475	7	NC1	127,4	0,0	-127,4	0,0	-1,8
B46	0,563+	20	NC1	2,2	0,6	-1,8	-1,1	0,0
B46	0,000	9	NC1	141,7	0,0	-141,7	0,0	-0,4
B48	0,400	25	NC1	0,2	0,1	-0,2	0,0	0,1
B48	0,000	7	NC1	10,2	0,0	-10,2	0,0	0,2
B49	0,600	35	NC1	8,0	7,7	-0,6	2,0	-0,7
B49	0,000	9	NC1	71,3	71,3	0,0	0,0	1,6
B50	0,500-	29	NC1	2,5	1,9	-0,9	1,1	0,8
B50	0,000	23	NC1	80,4	0,1	-80,4	0,0	2,0
B51	0,000	35	NC1	8,2	7,9	-0,6	-2,0	0,7
B51	0,600	9	NC1	71,5	71,4	0,0	0,0	-1,6
B52	0,100+	29	NC1	2,5	1,9	-0,9	-1,1	-0,8
B52	0,600	23	NC1	80,5	0,1	-80,5	0,0	-2,0
B53	0,356+	23	NC1	6,5	0,0	-6,5	0,0	0,3
B53	0,000	7	NC1	126,7	0,0	-126,7	0,0	1,8
B54	0,400	41	NC1	0,3	0,2	-0,2	0,0	-0,2
B54	0,000	9	NC1	10,0	0,0	-10,0	0,0	-0,2
B55	0,000	41	NC1	0,8	0,0	-0,8	0,0	0,0
B55	0,000	9	NC1	12,1	0,0	-12,1	0,0	0,0
B56	0,000	11	NC1	1,5	1,4	-0,2	-0,4	-0,3
B56	0,600	41	NC1	80,7	0,0	-80,7	0,0	0,9
B57	0,000	45	NC1	8,2	0,2	-8,1	-0,9	1,1
B57	0,600	7	NC1	71,6	71,6	0,0	0,0	0,4
B58	0,600	11	NC1	1,7	1,6	-0,2	0,4	0,3
B58	0,000	41	NC1	81,0	0,0	-81,0	0,0	-0,9
B59	0,600	45	NC1	8,4	0,2	-8,2	0,9	-1,1
B59	0,000	7	NC1	71,9	71,9	0,0	0,0	-0,4
B60	0,119+	23	NC1	8,3	0,0	-8,3	0,0	-0,6
B60	0,475	9	NC1	125,3	0,0	-125,3	0,0	1,7

5 RÁM ŠTOLY

5.1 KONSTRUKCE A MATERIÁLY

RÁM ŠTOLY – válcovaný profil K21, ocel 11 500, $f_y = 295 \text{ MPa}$

Spojení jednotlivých dílů vodorovného rámu je navrženo s přesahem min. 400 mm jištěným **2 třmenovými spoji**. Rámy osazeny v osové rozteči 0,8 m na příčné prahy z UPN 160.

ZTUŽENÍ – plochá ocel PLO 70/10, S235 JR, $f_y = 235 \text{ MPa}$

Ztužení provedeno v počtu 4 ks/rám.

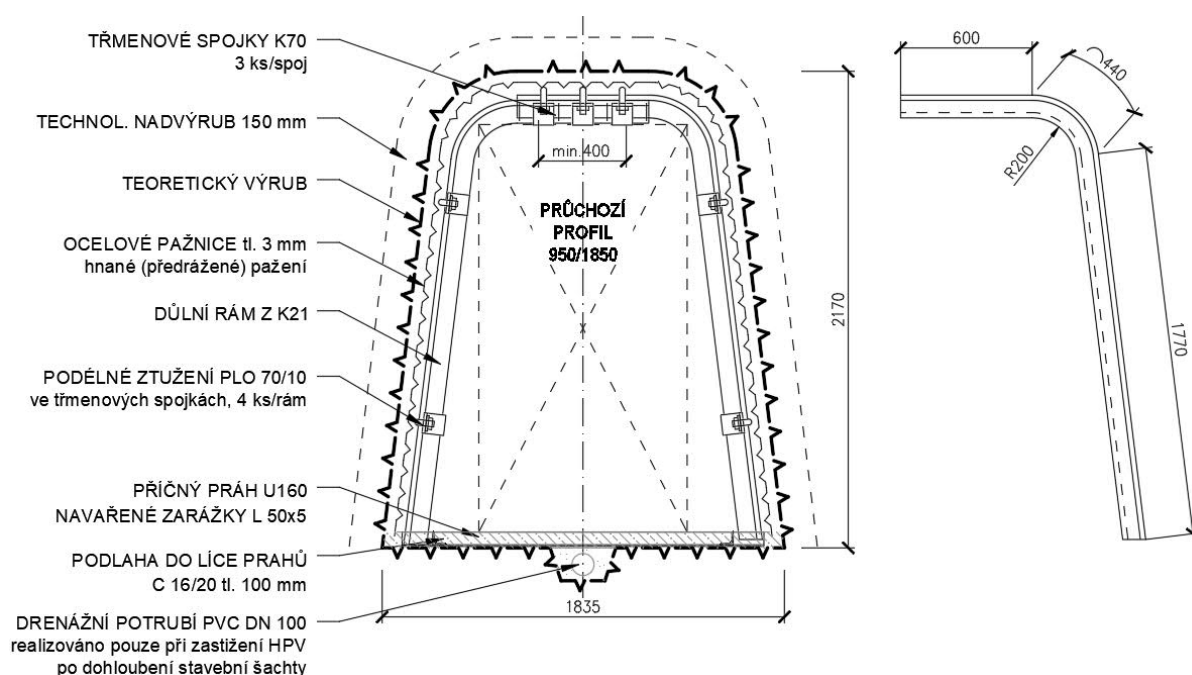
SPOJE DÍLŮ RÁMU – třmenové spoje K70 s maticí M27

Skládá se z matice, třmenu a spojky. Každý spoj rámu je jištěn dvěma spojkami.

PAŽNICE - ocelové Union tl. 3mm, ocel S235 JR, $f_y = 235 \text{ MPa}$

Po osazení pažení musí dojít k okamžité aktivaci odstavnými klíny.

PŘÍČNÝ PRAH – válcovaný profil U160, S235 JR, $f_y = 235 \text{ MPa}$



Obrázek 12. Profil štolý LB3 z profilu K21

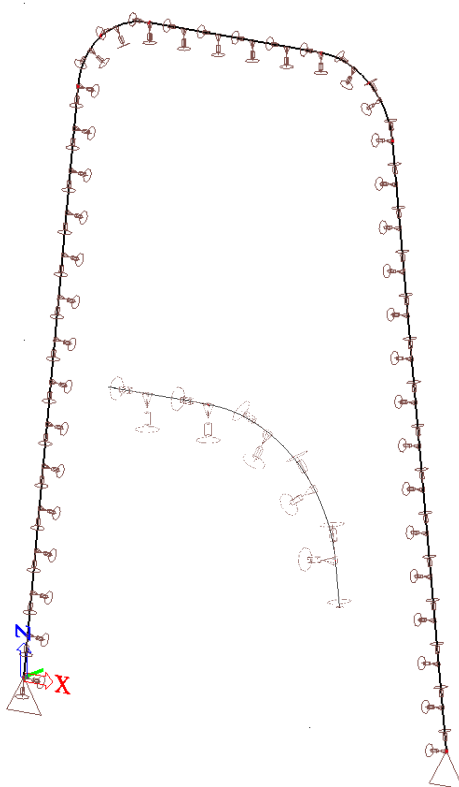
5.2 STATICKÝ MODEL

- 3D – rovina x, y, z
- ve směru „z“ bez zatížení
- kloubové podepření pat rámu
- pružné liniové podepření po obvodu (interakce s okolní horninou)

$$k_{rad} = \frac{E_{def}}{r \cdot (1 + \nu)} = 5,5 / (1,35 \cdot (1 + 0,38)) = 2,95 \text{ MN/m}^2$$

$$k_{tan} = \frac{k_{rad}}{2 \cdot (1 + \nu)} = 2,95 / (2 \cdot (1 + 0,38)) = 1,07 \text{ MN/m}^2$$

- zatížení aktivním zemním tlakem a povrchovou dopravou
- výpočet lineární a nelineární kombinace zatěžovacích stavů



Obrázek 13. Statický model rámu [kN]

5.3 ZATÍŽENÍ

Ražená štola bude realizována v prostředí říčních náplav a svahových sutí, které jsou si z hlediska geotechnických parametrů blízké. Výjimkou je vozovka, která však činí pouze cca 10 % nadloží a působí pozitivně ve smyslu roznášení zatížení. Vzhledem k tomu uvažují po celé výšce nadloží konzervativně střední hodnoty geotechnických parametrů vrstev.

Zatížení od horniny dle Bierbaumera

VSTUPNÍ ÚDAJE

šířka výrubu	$b =$	1,5 m
výška výrubu	$H =$	2,2 m
max. výška nadloží	$h =$	3,5 m
úhel vnitřního tření	$\varphi =$	27 °
objemová tíha zeminy	$\gamma =$	19,0 kN/m ³
rozteč rámců	$r =$	0,8 m
bezpečnostní součinitel	$\psi =$	1,3

VÝPOČET

Tíha sloupce horniny nad výrubem

$$P = \gamma \cdot h \cdot B \quad 99,75 \text{ kN/m}$$

Aktivní tlak zeminy nad smykovou rovinou aktivního tlaku (klínu zeminy)

$$P_1 = 0,5 \cdot \gamma \cdot h^2 \cdot \tan^2 \left(45^\circ - \frac{\varphi}{2} \right) \quad 43,70 \text{ kN/m}$$

Tření na styku klínu zeminy a sloupce horniny nad výrubem

$$P^+ = P_1 \cdot \tan \varphi \quad 22,27 \text{ kN/m}$$

Celkové zatížení stropu výrubu (svislý tlak horniny)

$$Q = P - 2P^+ \quad 55,22 \text{ kN/m}$$

SVISLÉ VÝPOČTOVÉ ZATÍŽENÍ NA STROPNÍ RÁM:

$$Q_{sd} = Gr/b \cdot \psi \cdot r \quad 38,28 \text{ kN/m}$$

Boční tlak horniny v úrovni stropu

$$e_1 = \gamma \cdot H \cdot \tan^2 \left(45^\circ - \frac{\varphi}{2} \right) \quad 24,97 \text{ kN/m}^2$$

VODOROVNÉ VÝPOČTOVÉ ZATÍŽENÍ V ÚROVNI STROPU

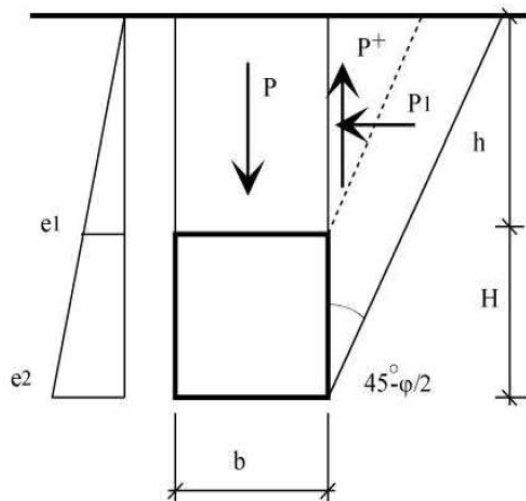
$$Q_{e1d} = e_1 \cdot \psi \cdot r \quad 25,97 \text{ kN/m}$$

Boční tlak horniny v úrovni dna

$$e_2 = \gamma \cdot (H + H_t) \cdot \tan^2 \left(45^\circ - \frac{\varphi}{2} \right) \quad 40,46 \text{ kN/m}^2$$

VODOROVNÉ VÝPOČTOVÉ ZATÍŽENÍ V ÚROVNI DNA

$$Q_{e2d} = e_2 \cdot \psi \cdot r \quad 42,07 \text{ kN/m}$$

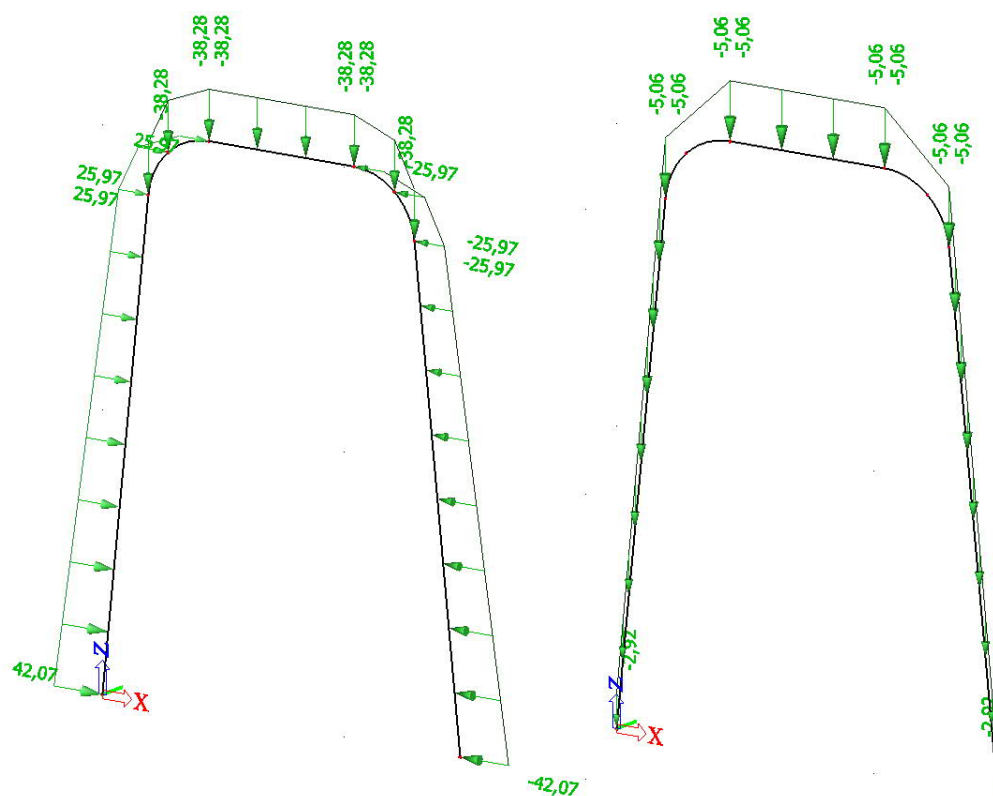


Obrázek 14. Schéma zatížení dle Bierbaumera

Zatížení od dopravy

Nákladní vozidlo Tatra T158-8P6R33.341

Max. dovolená hmotnost	30,00 t
Max. zatížení nápravy	11,50 t
Roznášecí úhel	30,00 °
Bezp. koeficient	1,30
Rozteč rámců	0,80 m
Hloubka klenby	3,20 m
Svislý tlak v úrovni klenby	3,11 kN/m ²
Návrhový svislý tlak na klenbu rámu	5,06 kN/m
Hloubka počvy	5,55 m
Svislý tlak v úrovni počvy	1,80 kN/m ²
Návrhový svislý tlak na počvu rámu	2,92 kN/m



Obrázek 15. Zatěžovací stavy rámu – zemina, doprava [kN]

5.4 POSOUZENÍ

Podmínka plasticity von Mises (σ_E) : celkové napětí (normálové + smykové) nesmí přesáhnout napětí dovolené, tj. mez kluzu oceli E295.

$$\sigma_E = \sqrt{(\sigma_{\text{normal}}^2 + 3 \cdot \tau_{\text{smyk}}^2)} < 295 \text{ MPa} = f_y$$

3D napětí

Nelineární výpočet

Nelineární kombinace: NC2

Výběr: Vše

Poloha: V uzlech s průměrováním na makro. Systém: LSS prvku sítě

Hlavní veličiny

Výsledky na 1D dílci

Extrém 1D: Globální

Jméno	dx [m]	Vlákno	Stav	σ_E [MPa]	σ_1 [MPa]	σ_2 [MPa]	τ_{xy} / τ_{xs} [MPa]	τ_{xz} / τ_{ys} [MPa]
B9	1,693	6	NC2	1,7	1,4	-0,5	0,0	-0,8
B13	0,896+	39	NC2	149,9	0,0	-149,9	0,0	0,0

3D napětí

Hodnoty: σ_E

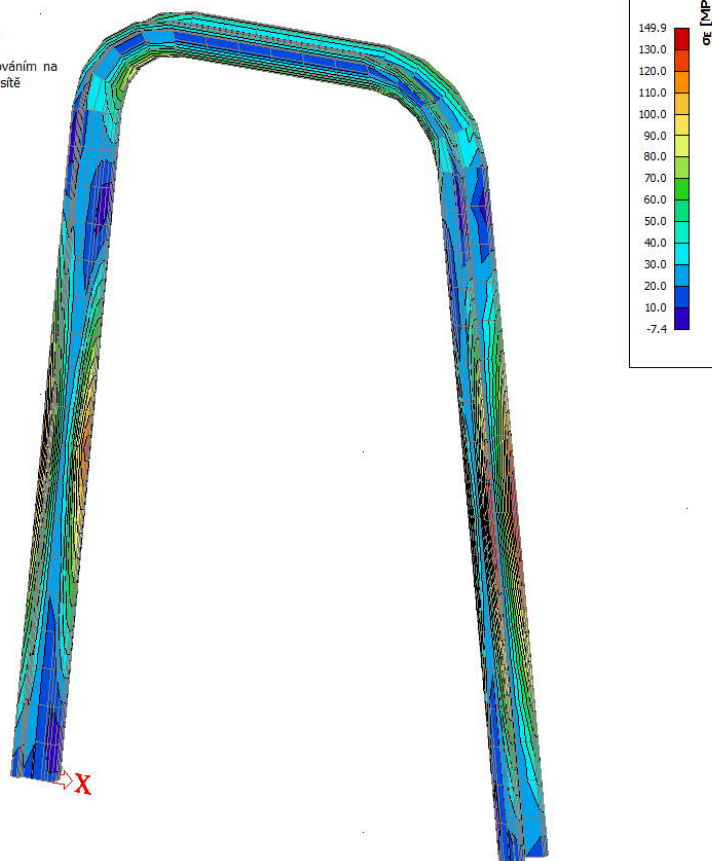
Nelineární výpočet

Nelineární kombinace: NC2

Výběr: Vše

Poloha: V uzlech s průměrováním na makro. Systém: LSS prvku sítě

Hlavní veličiny



Obrázek 16. Průběh celkového napětí σ_E ve 3D [MPa]

149,9 MPa < 295 MPa → nosný rám štoly vyhovuje s 50 % rezervou

6 ZÁVĚR

Navržená dočasná výztuž šachty i štoly vyhovuje předpokládanému zatížení a to s dostatečnou rezervou.

V případě změny (zhoršení) vnějších podmínek je nutné okamžitě informovat báňského projektanta a případně upravit postup výstavby.

Nedílnou součástí pracovního postupu musí být sledování konstrukce dle požadavků uvedených v kapitole geotechnického monitoringu, aby se včas podchytily negativní projevy a učinila vhodná bezpečnostní opatření.